

RAPPORT DE PRÉSENTATION DES RÉSULTATS

N° 12.1.22

Concernant l'essai

Détermination de la résistance à la fatigue

Selon la norme NF EN 12697-24



Établi le 20 octobre 2025 par G. PIOT - Cellule Exécutive de l'EAPIC Cerema IDF – Département Infrastructures Risques et Matériaux 120 route de Paris - BP 216 Sourdun 77487 PROVINS Cedex





Préambule

Après la série EAPIC 21 consacrée à la détermination de la sensibilité à l'eau d'un enrobé bitumineux (NF EN 12697-12 juin 2018), la série EAPIC 22 porte, pour la première fois, sur la détermination de la résistance à la fatigue (NF EN 12697-24 juin 2018). Cette série s'est déroulée sur 2 années.

Pour cette session, les membres de l'EAPIC ont fixé une formule sans Agrégats d'Enrobés. Pour limiter les écarts de teneur en vides sur les éprouvettes confectionnées au compacteur de plaque (NF EN 12697-33+A1), il a été demandé aux participants de viser une teneur en vides (NF EN 12697-6) de 6 %. Chaque entreprise a réalisé deux répliques (40 éprouvettes / réplique) et 3 niveaux de déformation ont été demandés.

Sur au moins 4 des éprouvettes confectionnées par réplique, des mesures de module selon la norme NF EN 12697-26 Annexe A1 ont permis d'effectuer un essai de comparaison complémentaire pour les laboratoires qui le souhaitaient.

Tout comme dans les dernières séries, un questionnaire a été joint aux résultats pour construire une base de données anonyme et lister des éléments potentiels de différenciation entre les participants, qui sera proposée à la Commission de Normalisation « Essais relatifs aux chaussées » (BNTRA CN EC). Cette analyse complémentaire pourrait permettre des évolutions dans un projet futur d'amélioration de la norme.

Cette campagne comptait 24 laboratoires participants. 75 % des laboratoires ont répondu dans les délais.

18 laboratoires ont participé aux mesures de module (NF EN 12697-26 +A1).

Implicitement, cette campagne a permis également de mesurer la masse volumique apparente géométrique des enrobés selon la norme NF EN 12697-6.

Une traduction prochaine en anglais de ce rapport permettra la diffusion et l'utilisation de son contenu dans les échanges internationaux relatifs à l'essai de la résistance en fatigue des enrobés bitumineux.

Cordialement,

Pour EAPIC,

Frédéric DELFOSSE



Sommaire

Organisation de la session et recueil des données	. 4
Préparation et expédition des échantillons	. 5
Vérification de l'homogénéité des échantillons de granulats	. 6
Vérification de l'homogénéité des échantillons de bitume	. 9
Eléments de différenciation entre les participants	12
Traitement des données	13
Détermination de la pente de fatigue 1/b	15
Détermination de la résistance à la fatigue	19
Détermination du module d'un enrobé	23
Organisation de l'EAPIC	27
Annexes	28
Bilan financier	29
Comparaison entre la résistance en fatigue et le pourcentage de vides mesuré .	30
Comparaison entre le module de rigidité et le pourcentage de vides mesuré	32
 Corrélation entre la pente 1/b et les valeurs ε₆ 	34



Organisation de la session et recueil des données

Des lots homogénéisés de constituants sont fournis aux laboratoires participants. Ceux-ci doivent déterminer la résistance à la fatigue d'éprouvettes bitumineuses, selon la norme NF EN 12697-24 de juin 2018 « Mélanges bitumineux - Méthodes d'essai - Partie 24 : résistance à la fatigue ».

Dans ce but, les participants devaient réaliser :

- Confection d'éprouvettes au compacteur de plaque selon la norme NF EN 12697-33+A1;
- Malaxage en laboratoire selon la norme NF EN 12697-35;
- Détermination de la masse volumique apparente des éprouvettes bitumineuses, méthode géométrique, selon la norme NF EN 12697-6;
- Détermination de la résistance à la fatigue selon la norme NF EN 12697-24 de juin 2018.

Il était proposé aux participants qui le souhaitaient de déterminer le module en flexion 2 points (2PB-TR), selon l'Annexe A de la norme NF EN 12697-26+A1 d'octobre 2022.

La valeur de la masse volumique réelle de l'enrobé a été déterminée par les laboratoires du Groupe Spécialisé EAPIC.

Elle a été transmise aux participants : MVRe = 2,493 Mg/m³

La formule à fabriquer par chaque laboratoire était :

0/2	28,00%
2/4	18,00%
4/6	14,00%
6/10	19,10%
10/14	16,00%
Bitume d'apport	4,90%

La campagne s'est déroulée de la façon suivante :

- Inscription des laboratoires au plus tard le 30 août 2023 ;
- Engagement financier de la série en novembre 2023 ;
- Expédition des échantillons en février 2024 ;
- Transmission des résultats des laboratoires participants exigée au plus tard le 31 janvier 2025;

Le nombre de participants inscrits à cette série était de 25 laboratoires.

1 laboratoire n'a pas donné suite à son intention de participation.

Les résultats de 24 laboratoires ont été traités.

75% des résultats ont été transmis dans le respect de ce délai, et 100% des résultats ont été transmis au plus tard mi-avril 2025.

Production du rapport de présentation des résultats pour septembre 2025.



Préparation et expédition des échantillons

Laboratoire Support : Cerema Ouest – Agence d'Angers

Les matériaux

Chaque participant a reçu une palette avec les quantités de matériaux nécessaires à la réalisation de ces essais.

Chaque palette était composée des matériaux suivants :

- 8 sacs de 20 kg de matériau 0/2 ;
- 5 sacs de 20 kg de matériau 2/4 ;
- 3 sacs de 20 kg de matériau 4/6 ;
- 5 sacs de 20 kg de matériau 6/10 ;
- 4 sacs de 20 kg de matériau 10/14 ;
- 2 pots de 15 kg de bitume 20/30.

Les granulats provenaient d'un stock unique. Chaque fraction granulaire a fait l'objet d'une vérification de l'homogénéité par Laboratoire Support du Cerema Centre Est – Agence d'Autun.

Le bitume provenait d'un stock unique. Il a fait l'objet d'une vérification de l'homogénéité par le laboratoire support du Cerema Centre Est – Agence d'Autun.

Préparation

Pour réaliser cette série, le Cerema Ouest - Agence d'Angers a réceptionné et alloti :

- 210 sacs de 20 kg de 0/2 ;
- 125 sacs de 20 kg de 2/4 ;
- 75 sacs de 20 kg de 4/6 ;
- 150 sacs de 20 kg de 6/10 ;
- 150 sacs de 20 kg de 10/14 ;
- 60 pots de 15 kg de bitume 20/30.

Expédition des matériaux

L'envoi des matériaux a été réalisé par le Cerema Ouest - Agence d'Angers. L'ensemble des échantillons nécessaires pour mener la série a été mis en place sur palette avant expédition.



Vérification de l'homogénéité des échantillons de granulats

Laboratoire Support : Cerema Centre Est - Agence d'Autun

Le critère d'homogénéité retenu par la Cellule Exécutive EAPIC est la masse volumique réelle des granulats sur l'ensemble des fractions, déterminée selon l'annexe A de la norme NF EN 1097-6, de février 2022 (§ 8 pour les gravillons et § 9 pour le sable).

Un prélèvement aléatoire de 10 sacs de 20 kg a été effectué tout au long de la constitution des lots (1 sac tous les 10 sacs réalisés) afin de procéder à la vérification et chaque test a été doublé par sac.

Masse volumique absolue (ρ₃ en Mg/m³)								
	Fraction 0/2			Fraction 2/4			Fraction 4/6	
	Résultats	Moyenne Intra- échantillon		Résultats	Moyenne Intra- échantillon		Résultats	Moyenne Intra- échantillon
	2,704 2,716	2,710		2,712 2,709	2,7105		2,782 2,625	2,7035
	2,710 2,689	2,6995		2,709 2,709	2,709		2,706 2,707	2,7065
	2,712 2,705	2,7085		2,707 2,708	2,7075		2,705 2,705	2,705
	2,705 2,703	2,704		2,710 2,706	2,708	-	2,701 2,700	2,7005
	2,706 2,689	2,6975		2,715 2,713	2,714		2,701 2,702	2,7015
	2,715 2,713	2,714		2,715 2,714	2,7145		2,701 2,701	2,701
	2,721 2,727	2,724		2,713 2,709	2,711		2,705 2,706	2,7055
	2,708 2,708	2,708		2,707 2,706	2,7065	1	2,705 2,705	2,705
	2,714 2,714	2,714		2,714 2,714	2,714		2,704 2,704	2,704
	2,721 2,725	2,723		2,706 2,706	2,706		2,706 2,710	2,708
Moyenne	2,7103	2,7103	Moyenne		2,7101	Moyenne	2,7041	2,7041
Ecart type	0,0100	0,0089	Ecart type	0,0033	0,0032	Ecart type	0,0256	0,0025



Masse volumique absolue (ρ _a en Mg / m³)							
	Fraction	6/10	Fraction 10/14				
	Résultats	Moyenne Intra- échantillon		Résultats	Moyenne Intra-échantillon		
	2,706	2,704		2,706	2,7065		
	2,701	_,,,,,		2,707	2,7003		
	2,707	2,7065		2,706	2,706		
	2,706	2,7003		2,706	2,700		
	2,706	2,705		2,705	2,706		
	2,704			2,707	2,700		
	2,705	2.705		2,706	2 707		
	2,705	2,705		2,708	2,707		
	2,704	2.702		2,709	2 707		
	2,702	2,703		2,705	2,707		
	2,704	2.704		2,704	2 7055		
	2,704	2,704		2,707	2,7055		
	2,704	2.704		2,706	2.7065		
	2,704	2,704		2,707	2,7065		
	2,711	2.74		2,706	2 707		
	2,709	2,71	2,708	2,707			
	2,708	2 7005		2,709	2 7005		
	2,709	2,7085		2,708	2,7085		
	2,708	2.700		2,713	2 7115		
	2,708	2,708		2,710	2,7115		
Moyenne	2,706	2,706	Moyenne	2,707	2,707		
Ecart type	0,0025	0,0024	Ecart type	0,0020	0,0017		

Afin de vérifier que l'ensemble des échantillons granulaires est homogène, il est appliqué les dispositions de l'annexe B de la norme NF ISO 13528 d'octobre 2022 qui donne une méthode statistique utilisée dans les essais d'aptitude par comparaison inter-laboratoires. Cette annexe s'appuie sur la comparaison de l'écart-type inter-échantillon S_s à l'écart-type pour l'évaluation de l'aptitude σ_{pt} .

Les échantillons sont considérés comme répondant au critère d'homogénéité si $S_s \le 0.3 \times \sigma_{pt}$.



Pour chaque sac, les valeurs de l'écart-type inter-échantillon s_s sont comparées à l'estimation du critère d'homogénéité $0.3 \times \sigma_{pt}$.

	ρ _a (Mg/m³) 0/2	ρ _a (Mg/m³) 2/4	ρ _a (Mg/m³) 4/6	ρ _a (Mg/m³) 6/10	ρ _a (Mg/m³) 10/14		
Moyenne	2,710	2,710	2,704	2,706	2,707		
Origine de r et R	EAPIC 5eme campagne	NF EN 1097-6 de février 2022					
r	$2,2 \ 10^{-2}$		1,9 10 ⁻²				
R	$7,4 \ 10^{-2}$	4,2 10 ⁻²					
σ_r	8,0 10 ⁻³	6,9 10 ⁻³					
σ_R	2,6 10 ⁻²		1,5 1	10-2			
σ_{pt}	2,6 10 ⁻²	1,4 10 ⁻²	1,4 10 ⁻²	1,4 10 ⁻²	1,4 10 ⁻²		
$0.3 \times \sigma_{pt}$	$7,8 \ 10^{-3}$	$4,3 \ 10^{-3}$	4,3 10 ⁻³	$4,3 \ 10^{-3}$	$4,3 \ 10^{-3}$		
S _s	$7,33 \ 10^{-3}$	3,02 10 ⁻³ 0 (*) 2.17 10 ⁻³ 1.33 10 ⁻³					
Validation $S_s \le 0.3 \times \sigma_{pt}$	Condition Vérifiée	Condition Vérifiée	Condition Vérifiée	Condition Vérifiée	Condition Vérifiée		

^{*}Le résultat obtenu étant négatif, la norme NF ISO 13508 préconise d'utiliser S_s=0

Pour chacun des tests, le critère est satisfait.

On peut donc conclure que les échantillons granulaires sont homogènes.



Vérification de l'homogénéité des échantillons de bitume

Laboratoire Support : Cerema Centre Est - Agence d'Autun

Les critères d'homogénéité retenu par la Cellule Exécutive EAPIC pour le bitume 20/30 sont :

- L'essai de pénétrabilité déterminé selon la norme NF EN 1426 de janvier 2018
- L'essai du point de ramollissement méthode Bille et Anneau, selon la norme NF EN 1427 de janvier 2018

	Pér	nétrabilité	Point de	ramollissement	
N° Pot	Résultats	Moyenne Intra-échantillon	Résultats	Moyenne Intra-échantillon	
	34,4		57,4		
3	34,7	34,5	57,3	57,4	
	34,5				
	32,5		57,5		
7	31,5	32,3	57,6	57,6	
	32,8				
	32,8		57,7		
13	32,3	32,5	57,4	57,6	
	32,3				
	35,7		57,7		
15	35,4	35,8	57,5	57,6	
	36,2			<u> </u>	
	31,4		57,4		
17	29,6	30,8	57,6	57,5	
	31,3				
	31,8		57,8		
20	31,3	31,5	57,9	57,9	
	31,4				
	31,3		57,6		
28	30,7	31,0	57,3	57,5	
	31,1				
	31,8		58,2		
40	30,5	31,1	58,2	58,2	
	31,1				
	30,7		57,6		
50	29,7	30,1	57,2	57,4	
	29,9]			
	33,1		57,9		
60	33,5	33,4	57,7	57,8	
	33,5]		1	
Moyenne	32,29	32,29	57,63	57,63	
Ecart type	1,78	1,79	0,28	0,26	



Afin de vérifier que l'ensemble des échantillons de bitume est homogène, il est appliqué les dispositions de l'annexe B de la norme NF ISO 13528 d'octobre 2022 qui donne une méthode statistique utilisée dans les essais d'aptitude par comparaison inter-laboratoires. Cette annexe s'appuie sur la comparaison de l'écart-type inter-échantillon S_s à l'écart-type pour l'évaluation de l'aptitude σ_{pt} . Les échantillons sont considérés comme répondant au critère d'homogénéité si $S_s \le 0.3 \times \sigma_{nt}$.

Pour chaque pot, les valeurs de l'écart-type inter-échantillon S_s sont comparées à l'estimation du critère d'homogénéité $0,3 \times \sigma_{pt}$.

	Pénétrabilité (0,1 mm)	Point de ramollissement (°C)
Moyenne	32,29	57,63
Origine de r et R	Norme NF EN 1426	Norme NF EN 1427
r	2	1
R	5	2
σ_r	0,72	0,361
σ_R	1,80	0,722
σ_{pt}	1,70	0,666
$0.3 \times \sigma_{pt}$	0,51	0,20
Ss	1,76	0,23
Validation S_s ≤ 0,3 × $σ_{pt}$	Condition non vérifiée	Condition non vérifiée

L'analyse conduit à une hétérogénéité des pots de bitumes concernant l'essai de point de ramollissement Méthode Bille et anneau et l'essai de pénétrabilité (néanmoins, les tests de Cochran et Grubbs n'ont détecté aucune valeur aberrante).

Des essais complémentaires ont été réalisés afin de confirmer son homogénéité. Les résultats sont présentés ci-dessous.

	Pot 15	Pot 17	Pot 20
Pénétrabilité (x 0,1 mm)	31	28	28
Point de ramollissement (°C)	57,0	56,6	57,2
IG*I (MPa) à 15 °C et 10 Hz	47,1	49,5	48,5

Les nouvelles valeurs de pénétrabilité sont conformes au grade 20/30 (limite haute). La valeur du module complexe du liant correspond bien à un liant 20/30 (IG*I compris entre 35 et 65 MPa).

Une détermination du module complexe de la formule-type de l'enrobé bitumineux, selon la méthode C de NF EN 12697-26+A1, a été réalisée.

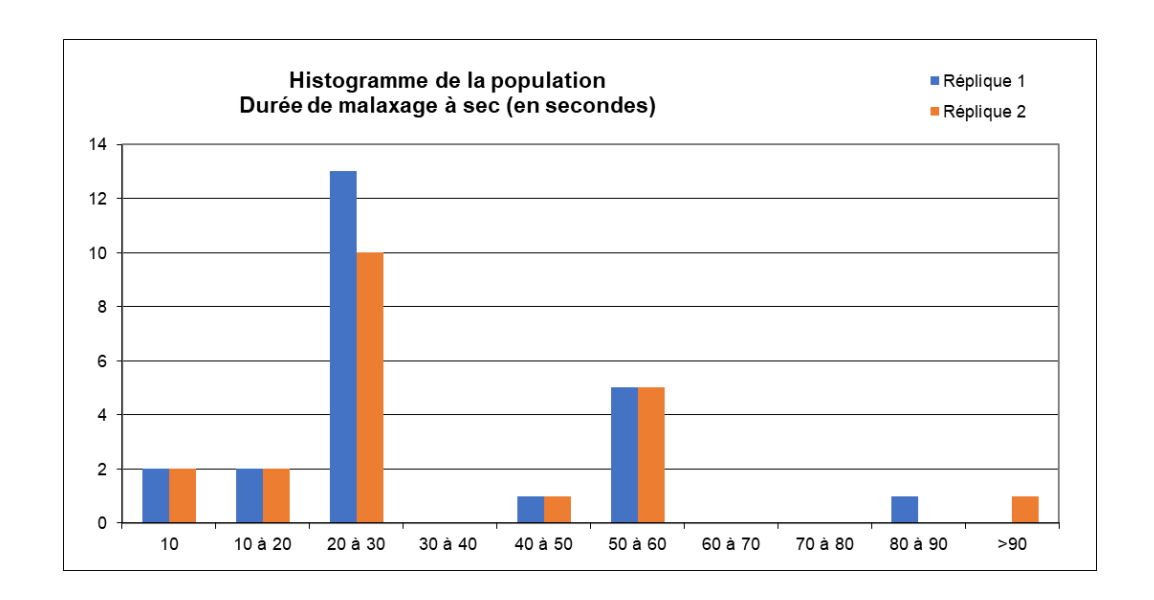
La valeur obtenue est de 11659 MPa, ce qui correspond à une valeur attendue pour un enrobé bitumineux de type GB4.

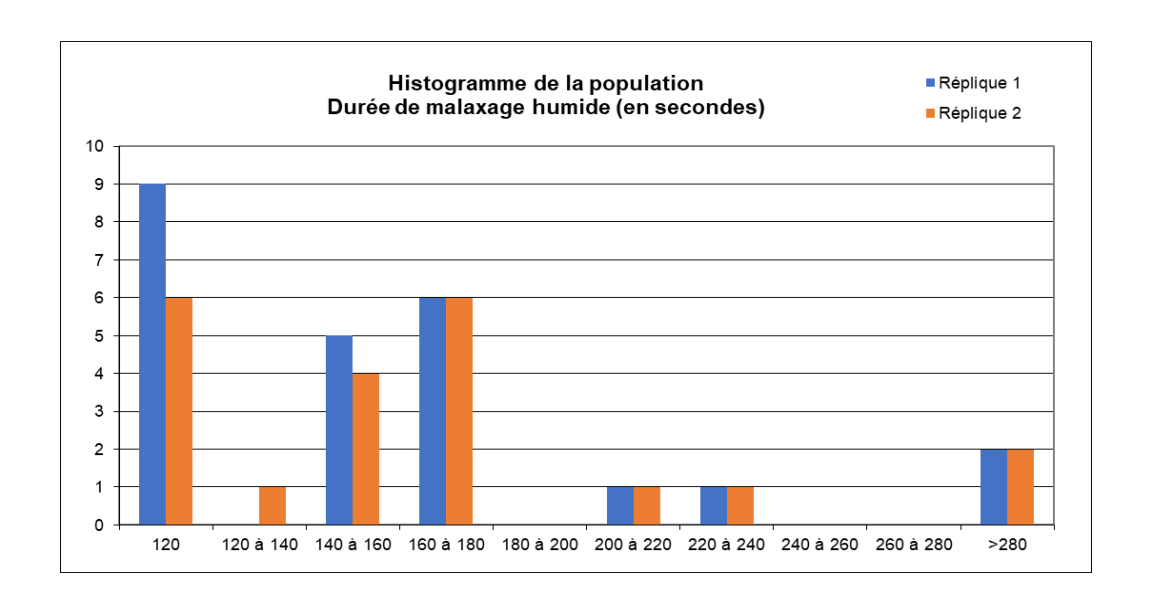


À la vue de l'ensemble des résultats, le Groupe Spécialisé EAPIC a validé l'approvisionnement en bitume.



Eléments de différenciation entre les participants







Traitement des données

Le traitement des données s'appuie sur la série des normes NF ISO 5725 « Application de la statistique – Exactitude (justesse et fidélité) des résultats et méthodes de mesures ». Il est effectué à l'aide d'un tableur Excel. Les résultats sont ensuite vérifiés à l'aide du logiciel XLSTAT.

Glossaire

Dans le cadre de cette étude inter-laboratoires, les termes suivants ont été utilisés :

- N : nombre de participants
- m : moyenne des résultats des participants
- σ_m : écart-type moyen des résultats
- σ_r: écart-type de répétabilité
- r : répétabilité de la méthode d'essai
- σ_R : écart-type de reproductibilité
- R : reproductibilité de la méthode d'essai

Tests statistiques

Les tests statistiques suivants sont appliqués successivement sur les résultats bruts :

- Test de Cochran (variabilité intra-laboratoire) : détection d'une valeur aberrante, au sens statistique des résultats dans un laboratoire. Le test est réalisé en premier ;
- Test de Grubbs simple (variabilité inter-laboratoires) : détection des moyennes aberrantes, parmi la population des laboratoires.

Les résultats écartés (*) sont indiqués en rouge dans le tableau de synthèse de résultats.

En plus de ces 2 premiers tests, il est proposé à titre informatif une exploitation par les tests k et h Mandel (différence au niveau des échantillons) sur les données corrigées :

- La statistique k de cohérence intra-laboratoire (au niveau de la variance);
- La statistique h de cohérence inter-laboratoires (au niveau de la moyenne)

Les résultats écartés (*) sont indiqués en jaune dans le tableau de synthèse de résultats.

(*) Les résultats dépassant la valeur critique à 1% sont déclarés aberrants et écartés du traitement statistique qui ne retient que les données corrigées.

Représentation graphique

Les résultats bruts sont représentés sous forme d'histogrammes qui expriment les résultats obtenus par les laboratoires participants. Les moyennes brutes et corrigées (après retrait des résultats aberrants) sont placées sur le graphique.



Score Z

Le Score Z, calculé selon la norme NF ISO 13528 de novembre 2022, désigne le nombre d'écarts-types qui se trouve au-dessus ou en dessous de la moyenne de la population. Le Z-Score est calculé à partir de la formule suivante.

$$z = (X - \mu) / \sigma$$

où:

z est le Score Z X est la moyenne du laboratoire μ est la moyenne de la population brute σ est l'écart-type de la population brute

Les valeurs de Score Z inférieures à - 2 ou supérieures à 2 sont indiquées en rouge dans le tableau de synthèse des résultats.



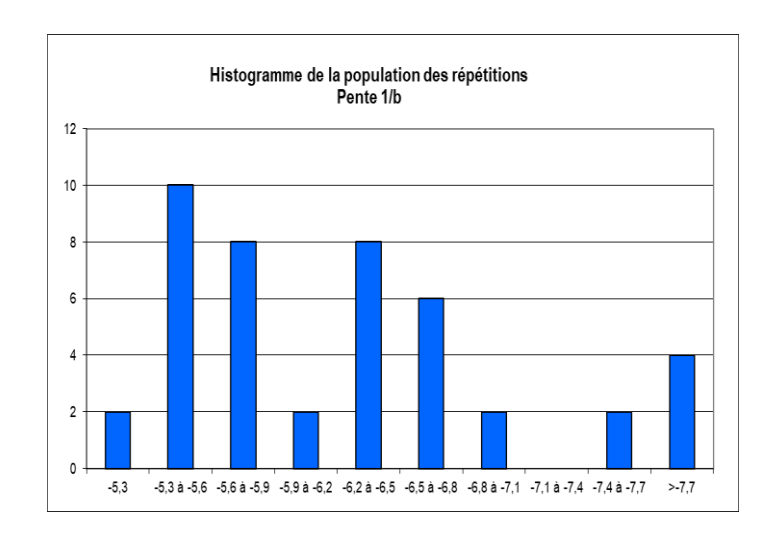
Détermination de la pente de fatigue 1/b

L'essai a été réalisé selon la norme NF EN 12697-24 de juin 2018 « Mélanges bitumineux - Méthodes d'essai pour mélange hydrocarboné à chaud - Partie 24 : résistance à la fatigue »

Représentations graphiques

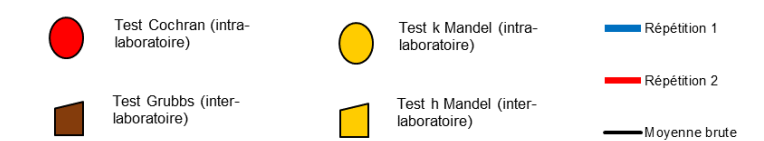
		Données brutes	Résultats écartés par les tests statistiques	Norme NF EN 12697-24
	N	22		
	M	-6.225		
ij	σ_{m}	0,46		
E I	σ_{r}	0,75	Aucun	$\sigma_{\rm r} = 0.021$
Sans	r	2,09		r = 0.06
Sa	σ_{R}	0,70		$\sigma_{R} = 0.022$
	R	1,97		R = 0.064

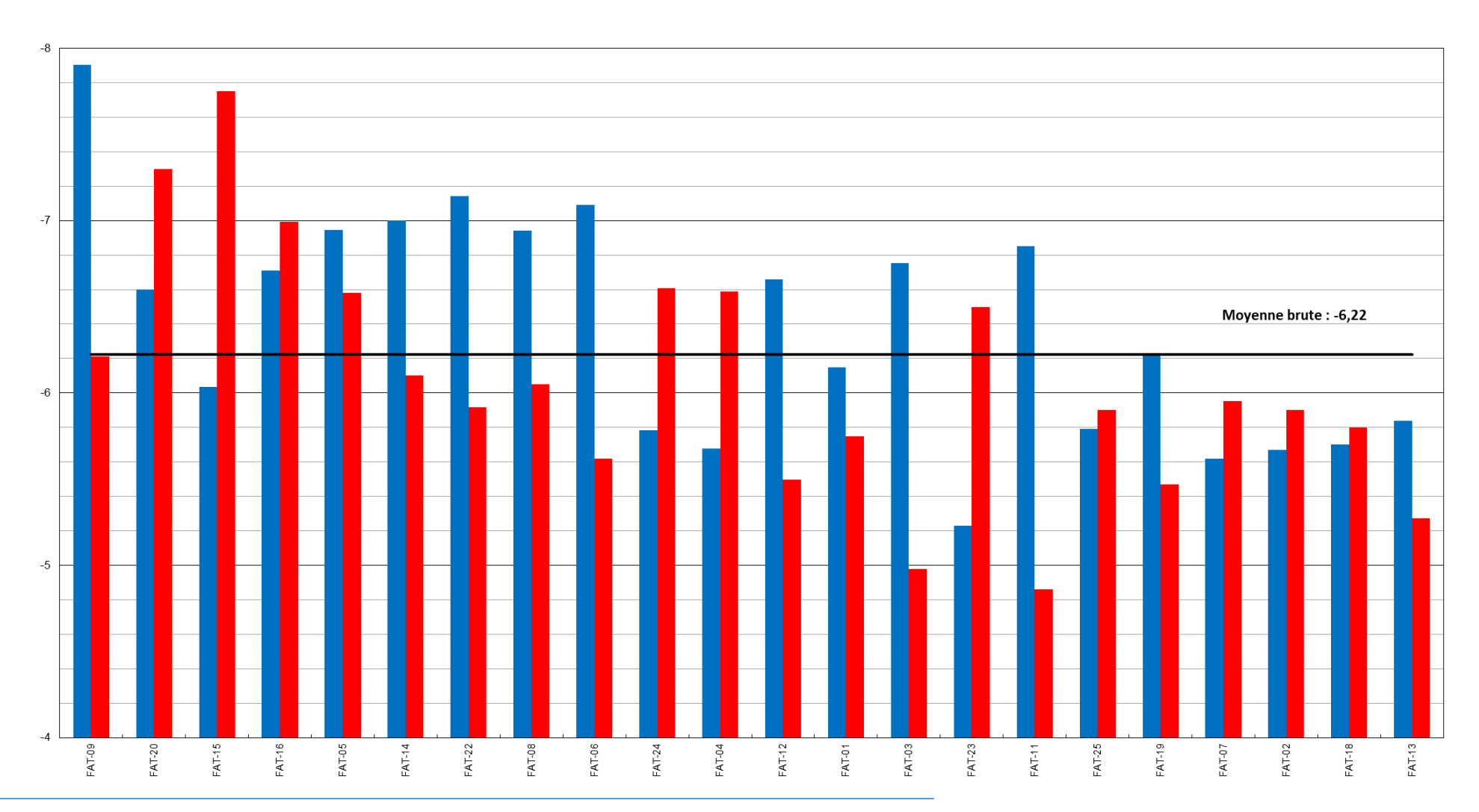
Les résultats des laboratoires FAT-17 et FAT-21 ne sont pas pris en compte dans le traitement statistique (une seule réplique réalisée). Leurs résultats sont indiqués dans le graphe des données brutes sans analyse statistique.





EAPIC 12.1.22 Détermination de la pente 1/b Selon la norme NF EN 12697-24



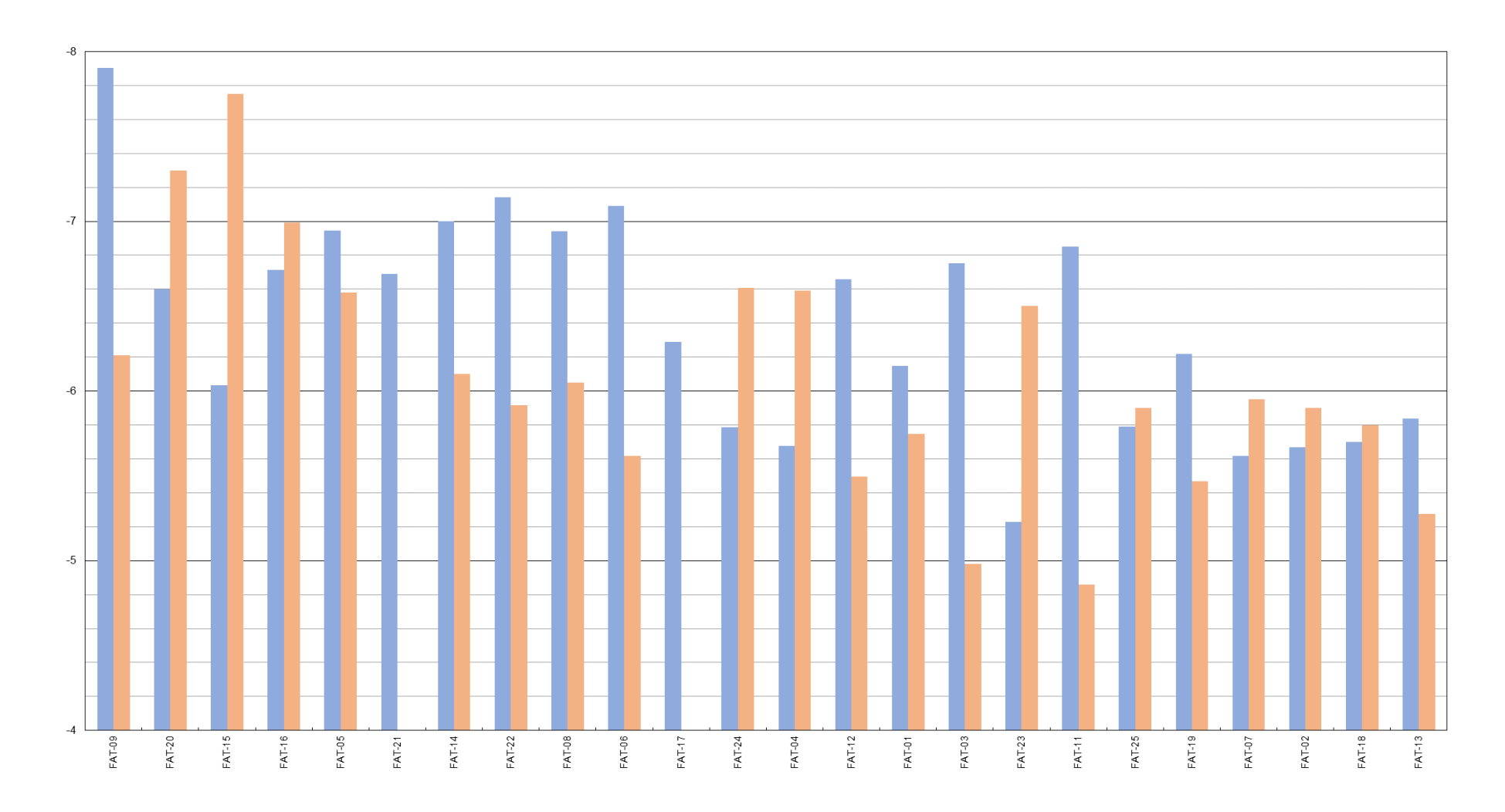




EAPIC 12.1.22 Détermination de la pente 1/b Selon la norme NF EN 12697-24 Ensemble des participants

Répétition 1

Répétition 2





Synthèse des résultats et Score Z sur les données brutes

Code résultat	Répétition 1	Répétition 2	Moyenne	Ecart à la moyenne	Score Z
FAT-01	-6,148	-5,747	-5,948	0,28	0,40
FAT-02	-5,670	-5,900	-5,785	0,44	0,63
FAT-03	-6,752	-4,980	-5,866	0,36	0,51
FAT-04	-5,676	-6,590	-6,133	0,09	0,13
FAT-05	-6,944	-6,579	-6,762	-0,54	-0,76
FAT-06	-7,092	-5,618	-6,355	-0,13	-0,19
FAT-07	-5,618	-5,952	-5,785	0,44	0,63
FAT-08	-6,943	-6,049	-6,496	-0,27	-0,39
FAT-09	-7,903	-6,211	-7,057	-0,83	-1,18
FAT-11	-6,850	-4,860	-5,855	0,37	0,53
FAT-12	-6,659	-5,495	-6,077	0,15	0,21
FAT-13	-5,839	-5,274	-5,557	0,67	0,95
FAT-14	-7,000	-6,100	-6,550	-0,32	-0,46
FAT-15	-6,035	-7,751	-6,893	-0,67	-0,95
FAT-16	-6,711	-6,993	-6,852	-0,63	-0,89
FAT-17	-6,289	NR	/	/	/
FAT-18	-5,700	-5,800	-5,750	0,48	0,68
FAT-19	-6,220	-5,470	-5,845	0,38	0,54
FAT-20	-6,600	-7,300	-6,950	-0,72	-1,03
FAT-21	-6,690	NR	/	/	/
FAT-22	-7,143	-5,917	-6,530	-0,30	-0,43
FAT-23	-5,230	-6,500	-5,865	0,36	0,51
FAT-24	-5,785	-6,609	-6,197	0,03	0,04
FAT-25	-5,790	-5,900	-5,845	0,38	0,54



Détermination de la résistance à la fatigue

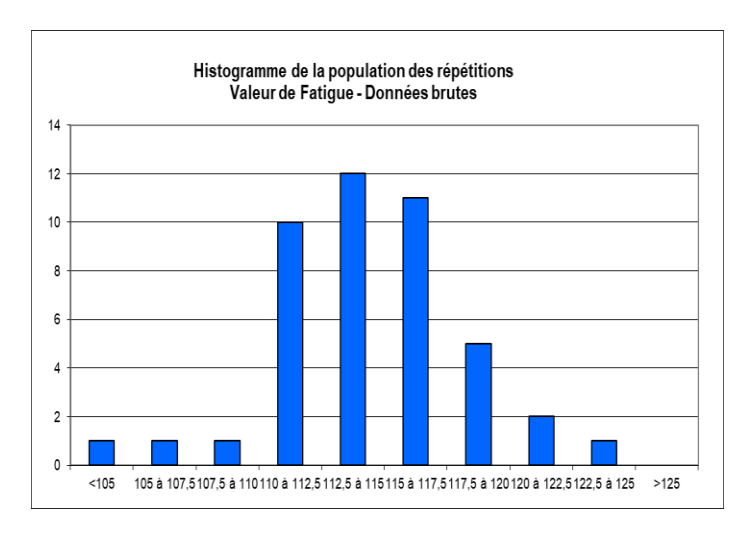
L'essai a été réalisé selon la norme NF EN 12697-24 de juin 2018 « Mélanges bitumineux - Méthodes d'essai pour mélange hydrocarboné à chaud - Partie 24 : résistance à la fatigue »

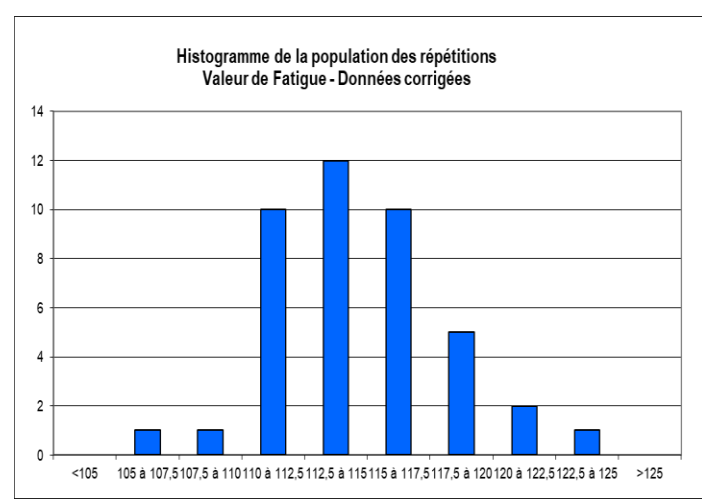
Représentations graphiques

		Données brutes	Résultats écartés par les tests statistiques	Données corrigées	Résultats écartés par les tests statistiques (k et h Mandel)	Norme NF EN 12697-24
	N	22		21		
	M	114,8		115,0		
_	σ_{m}	3,73	Cochran FAT-11	3,48		
pdef	$\sigma_{\rm r}$	2,39		1,76	Aucun	$\sigma_{\rm r} = 1,43$
En	r	6,6	I AT TI	4,9		r = 4,2
ш	σ _R	3,75		3,52		$\sigma_{R} = 2.96^{(*)}$
	R	10,4		9,7		R = 8,3

Les résultats des laboratoires FAT-17 et FAT-21 ne sont pas pris en compte dans le traitement statistique (une seule réplique réalisée). Leurs résultats sont indiqués dans le graphe des données brutes sans analyse statistique.

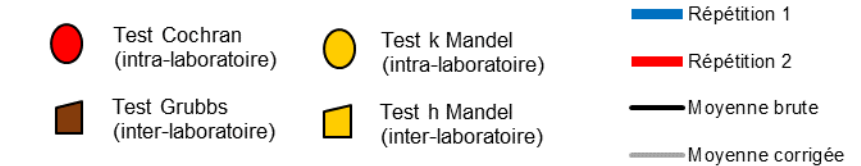
(*) Valeur de σ_R recalculée à partir de la valeur de R précisée dans la norme

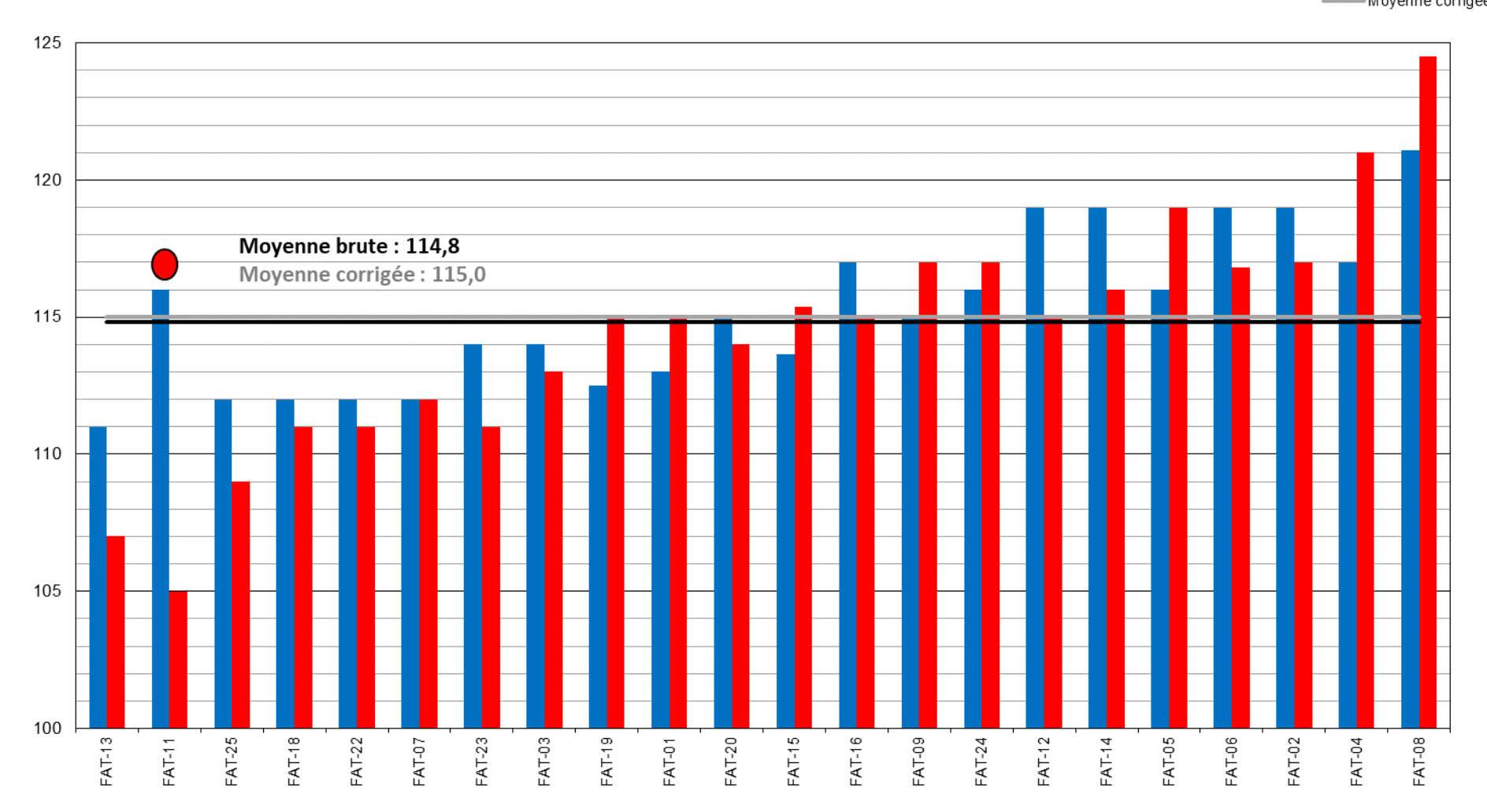






EAPIC 12.1.22 Détermination de la résistance à la fatigue (μdef) Selon la norme NF EN 12697-24



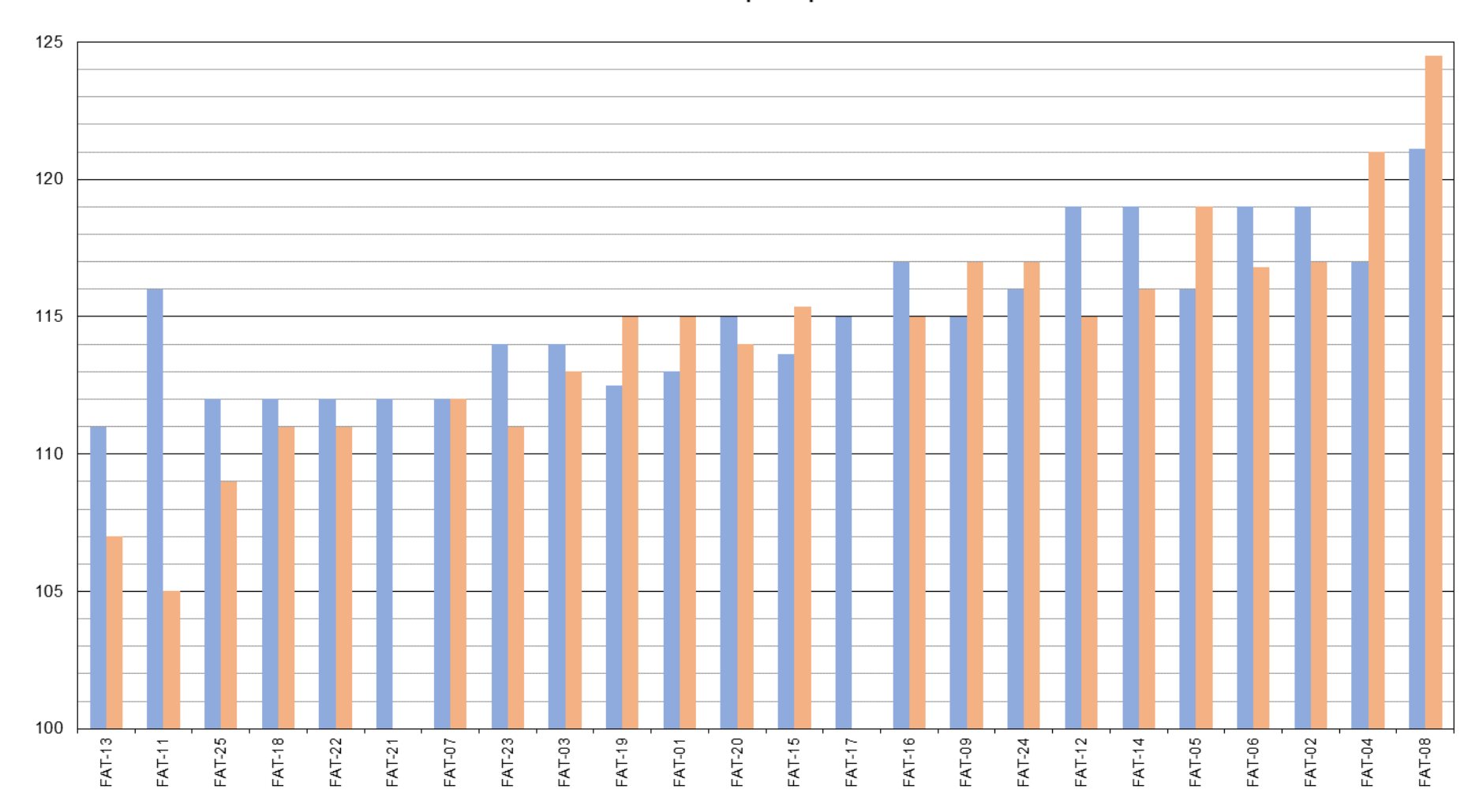




EAPIC 12.1.22 Détermination de la résistance à la fatigue (µdfef) Selon la norme NF EN 12697-24 Ensemble des participants

■Répétition 1

Répétition 2





Synthèse des résultats et Score Z sur les données brutes

Code résultat	Répétition 1	Répétition 2	Moyenne	Ecart à la moyenne	Score Z
FAT-01	113,0	115,0	114,0	-0,76	-0,20
FAT-02	119,0	117,0	118,0	3,24	0,86
FAT-03	114,0	113,0	113,5	-1,26	-0,34
FAT-04	117,0	121,0	119,0	4,24	1,13
FAT-05	116,0	119,0	117,5	2,74	0,73
FAT-06	119,0	116,8	117,9	3,14	0,84
FAT-07	112,0	112,0	112,0	-2,76	-0,73
FAT-08	121,1	124,5	122,8	8,04	2,14
FAT-09	115,0	117,0	116,0	1,24	0,33
FAT-11	116,0	105,0	110,5	-4,26	-1,13
FAT-12	119,0	115,0	117,0	2,24	0,60
FAT-13	111,0	107,0	109,0	-5,76	-1,53
FAT-14	119,0	116,0	117,5	2,74	0,73
FAT-15	113,6	115,4	114,5	-0,25	-0,07
FAT-16	117,0	115,0	116,0	1,24	0,33
FAT-17	115	/	115,0	/	/
FAT-18	112,0	111,0	111,5	-3,26	-0,87
FAT-19	112,5	115,0	113,8	-1,01	-0,27
FAT-20	115,0	114,0	114,5	-0,26	-0,07
FAT-21	112	/	112,0	/	/
FAT-22	112,0	111,0	111,5	-3,26	-0,87
FAT-23	114,0	111,0	112,5	-2,26	-0,60
FAT-24	116,0	117,0	116,5	1,74	0,46
FAT-25	112,0	109,0	110,5	-4,26	-1,13



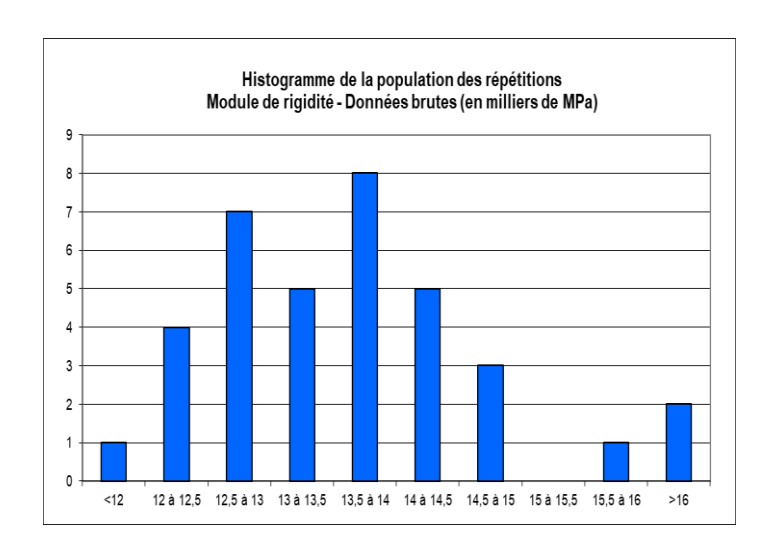
Détermination du module d'un enrobé

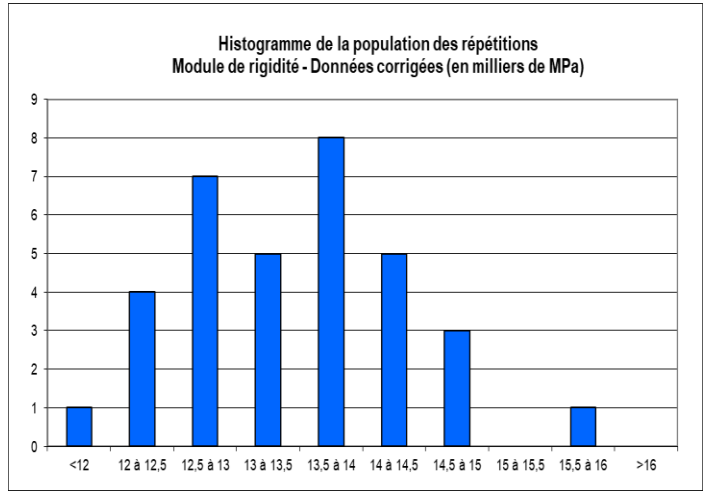
L'essai a été réalisé selon la norme NF EN 12697-26+A1 – Annexe A (flexion 2 points) d'octobre 2022 « Mélanges bitumineux - Méthodes d'essai - Partie 26 : rigidité »

Représentations graphiques

		Données brutes	Résultats écartés par les tests statistiques	Données corrigées	Résultats écartés par les tests statistiques (k et h Mandel)	Norme 12697-26+A1
	N	18	Cochran Aucun Grubbs FAT-18	17	Aucun	
En MPa	m	13685		13476		
	σ_{m}	1221		876		
	σ_{r}	482		495		$\sigma_{\rm r} = 118$
	r	1334		1371		r = 335
	σ_{R}	1236		886		$\sigma_{R} = 969$
	R	3423		2453		R = 2740

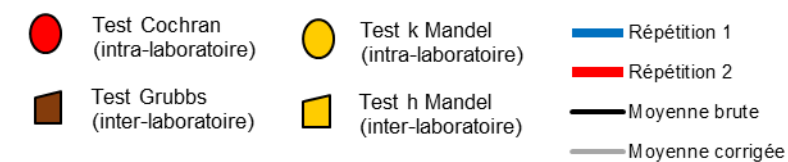
Les résultats du laboratoire FAT-21 ne sont pas pris en compte dans le traitement statistique (une seule réplique réalisée). Ses résultats sont indiqués dans le graphe des données brutes sans analyse statistique.

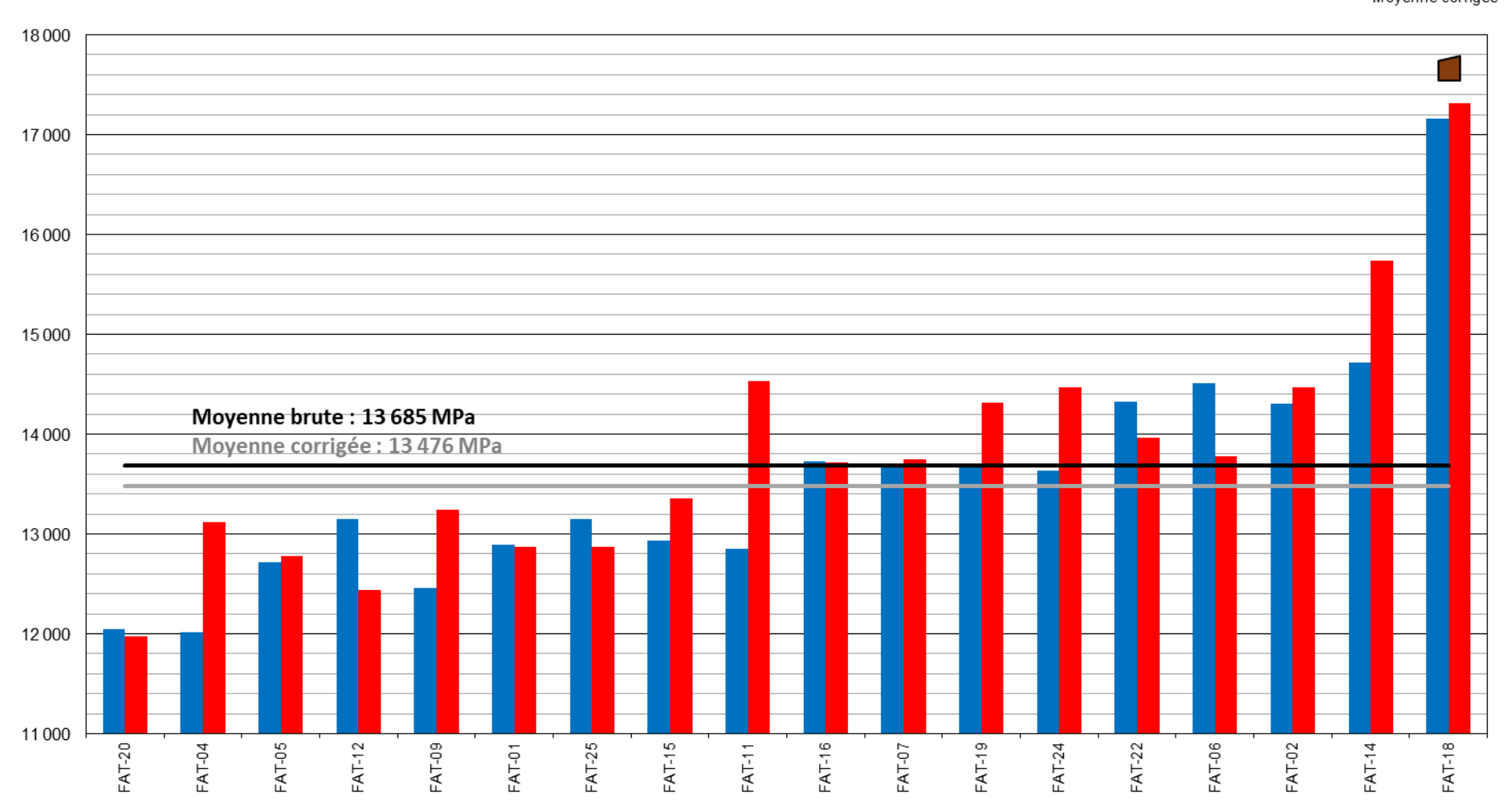






EAPIC 12.1.22 Détermination du module de rigidité (en MPa) Selon la norme NF EN 12697-26



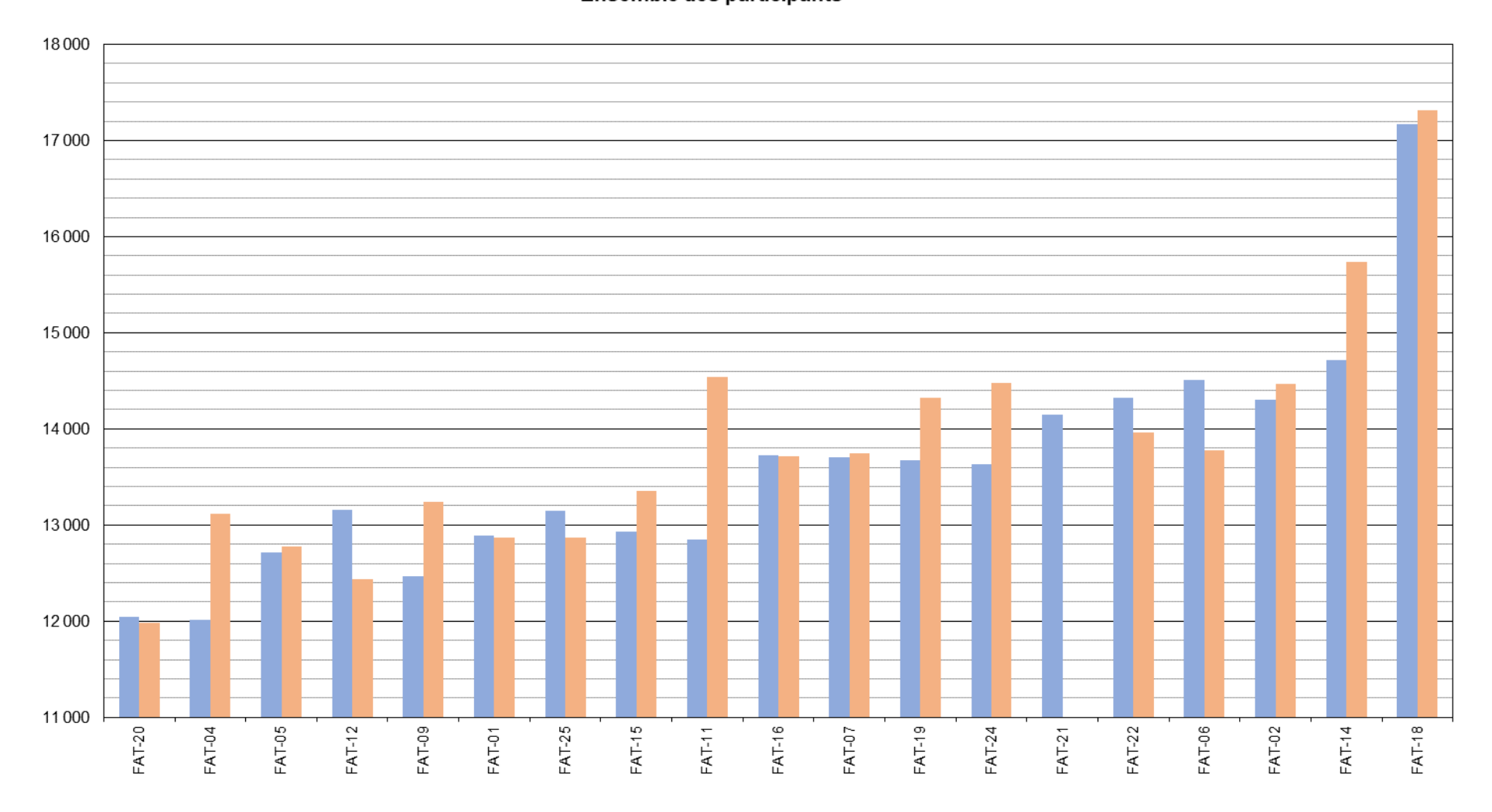




EAPIC 12.1.22 Détermination du module de rigidité (MPa) Selon la norme NF EN 12697-26 Ensemble des participants

■Répétition 1

Répétition 2





Écarts à la moyenne et valeurs de Score Z sur les données brutes

Code résultat	Répétition 1	Répétition 2	Moyenne	Ecart à la moyenne	Score Z
FAT-01	12 891	12 871	12 881	-816,3	-0,66
FAT-02	14 300	14 466	14 383	685,8	0,56
FAT-04	12 011	13 118	12 564	-1132,8	-0,92
FAT-05	12 713	12 775	12 744	-953,5	-0,77
FAT-06	14 511	13 781	14 146	448,7	0,36
FAT-07	13 701	13 745	13 723	25,7	0,02
FAT-09	12 464	13 244	12 854	-843,3	-0,68
FAT-11	12 847	14 537	13 692	-5,7	0,00
FAT-12	13 155	12 440	12 798	-899,6	-0,73
FAT-14	14 714	15 734	15 224	1526,7	1,24
FAT-15	12 931	13 353	13 142	-555,3	-0,45
FAT-16	13 726	13 720	13 723	25,6	0,02
FAT-18	17 166	17 318	17 242	3544,6	2,87
FAT-19	13 671	14 320	13 995	297,8	0,24
FAT-20	12 044	11 978	12 011	-1686,0	-1,36
FAT-21	14 143	/	14 143	/	/
FAT-22	14 325	13 964	14 144	447,1	0,36
FAT-24	13 632	14 474	14 053	355,7	0,29
FAT-25	13 148	12 871	13 009	-688,0	-0,56



Organisation de l'EAPIC

Le Groupé Spécialisé « Essais d'Aptitude Par Inter Comparaison » est placé sous l'égide du Comité Opérationnel Qualification Comparaison Inter-Laboratoires (COQC) de l'Institut des Routes, des Rues et des Infrastructures pour la Mobilité (IDRRIM) présidé par Eric OLLINGER (assistante : Exaucée Elie MPINGI)

Le *Groupe Spécialisé* s'appuie sur la *Cellule Exécutive* pour l'organisation de la campagne d'essais. Le soutien logistique pour la préparation des corps d'épreuve est assuré par les *Laboratoires Supports*.

Groupe Spécialisé EAPIC

Membres:

ARGHYRIS Adso DANIEL Vincent DELFOSSE Frédéric DUPRIET Stéphane ESPIEUX Baudouin LE CUNFF Franck PIOT Géraldine PRIEZ Christophe VANEPH Cyril

Secrétaire Général : DELFOSSE Frédéric

Cellule Exécutive EAPIC

Cerema IDF- Site de Sourdun : PIOT Géraldine

Laboratoires Supports EAPIC

Cerema Ouest - Agence d'Angers : DANIEL Vincent

Cerema Centre Est - Agence d'Autun : ARGHYRIS Adso, ESPIEUX Baudouin &

VANEPH Cyril



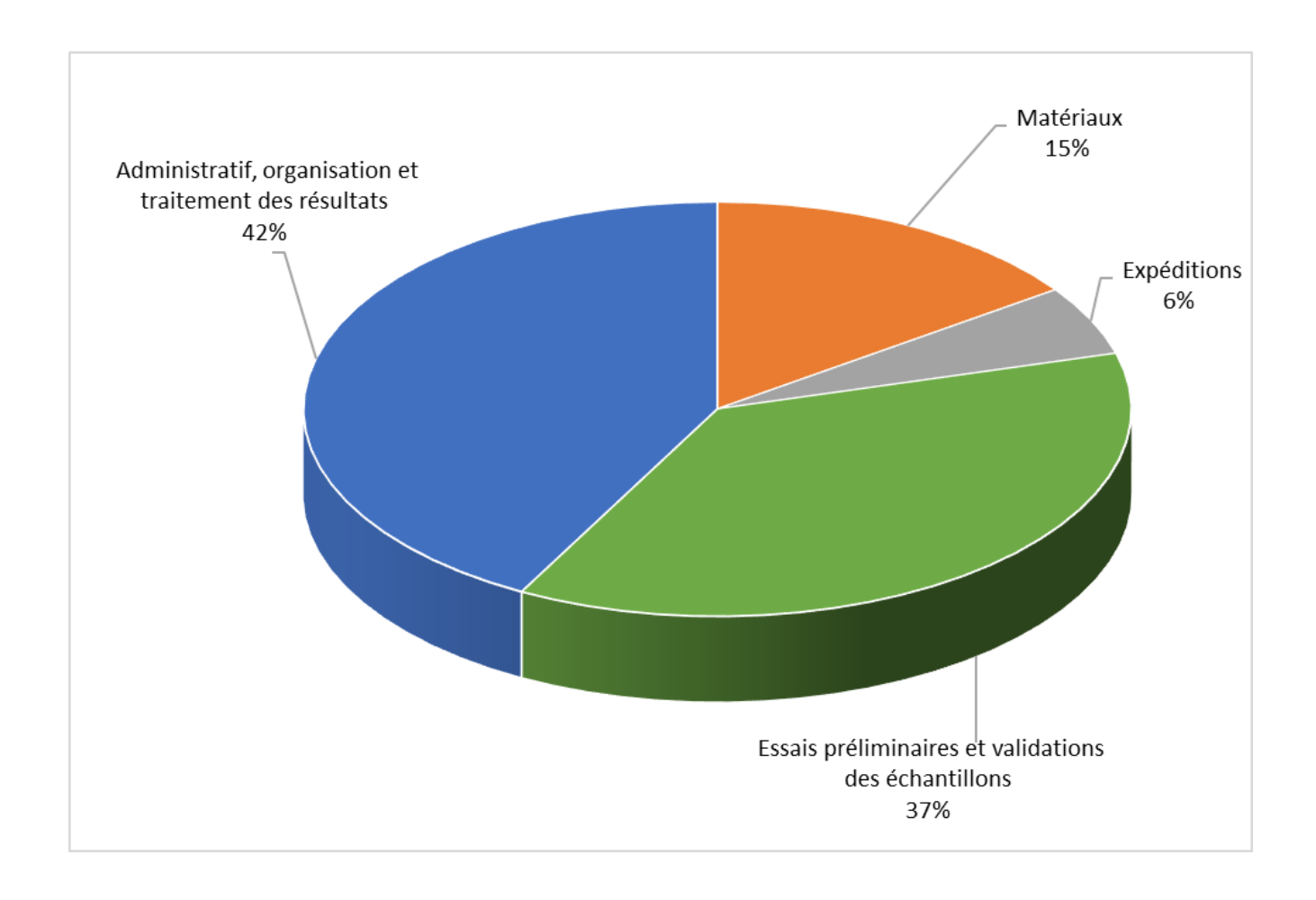
Annexes

- Bilan financier
- Comparaison entre la résistance en fatigue et le pourcentage de vides mesuré
- o Comparaison entre le module de rigidité et le pourcentage de vides mesuré

_



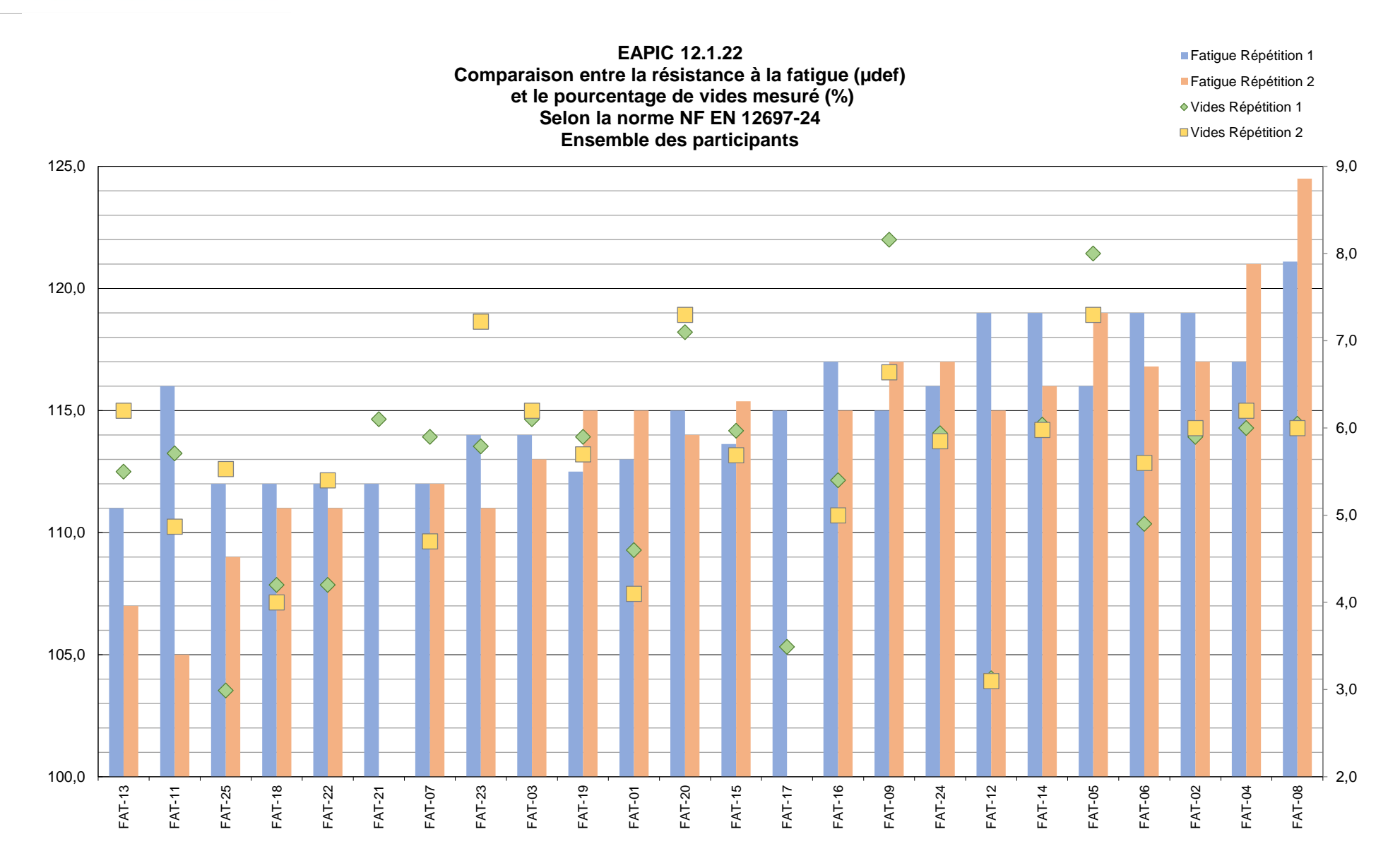
Bilan financier





Comparaison entre la résistance en fatigue et le pourcentage de vides mesuré

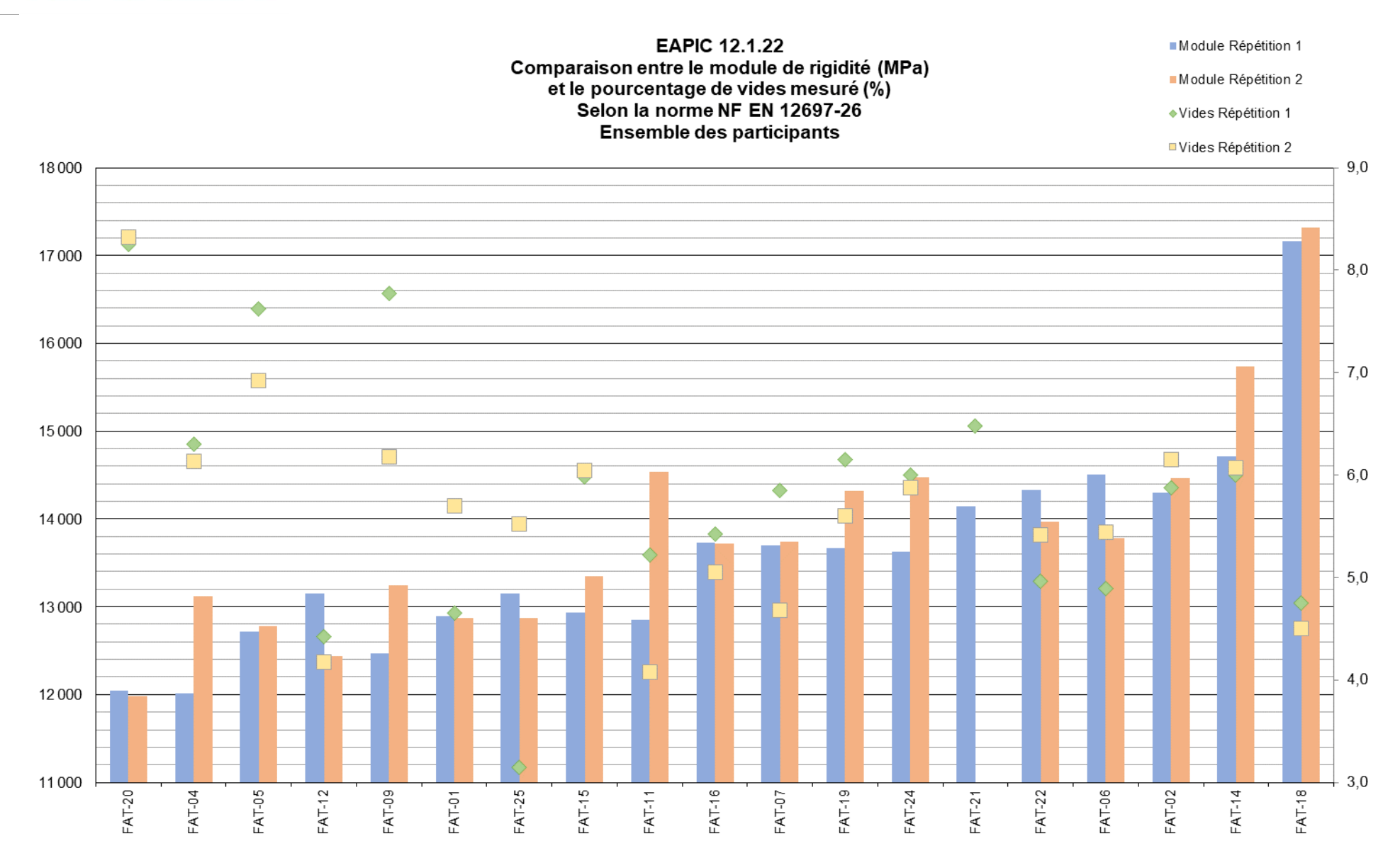






Comparaison entre le module de rigidité et le pourcentage de vides mesuré

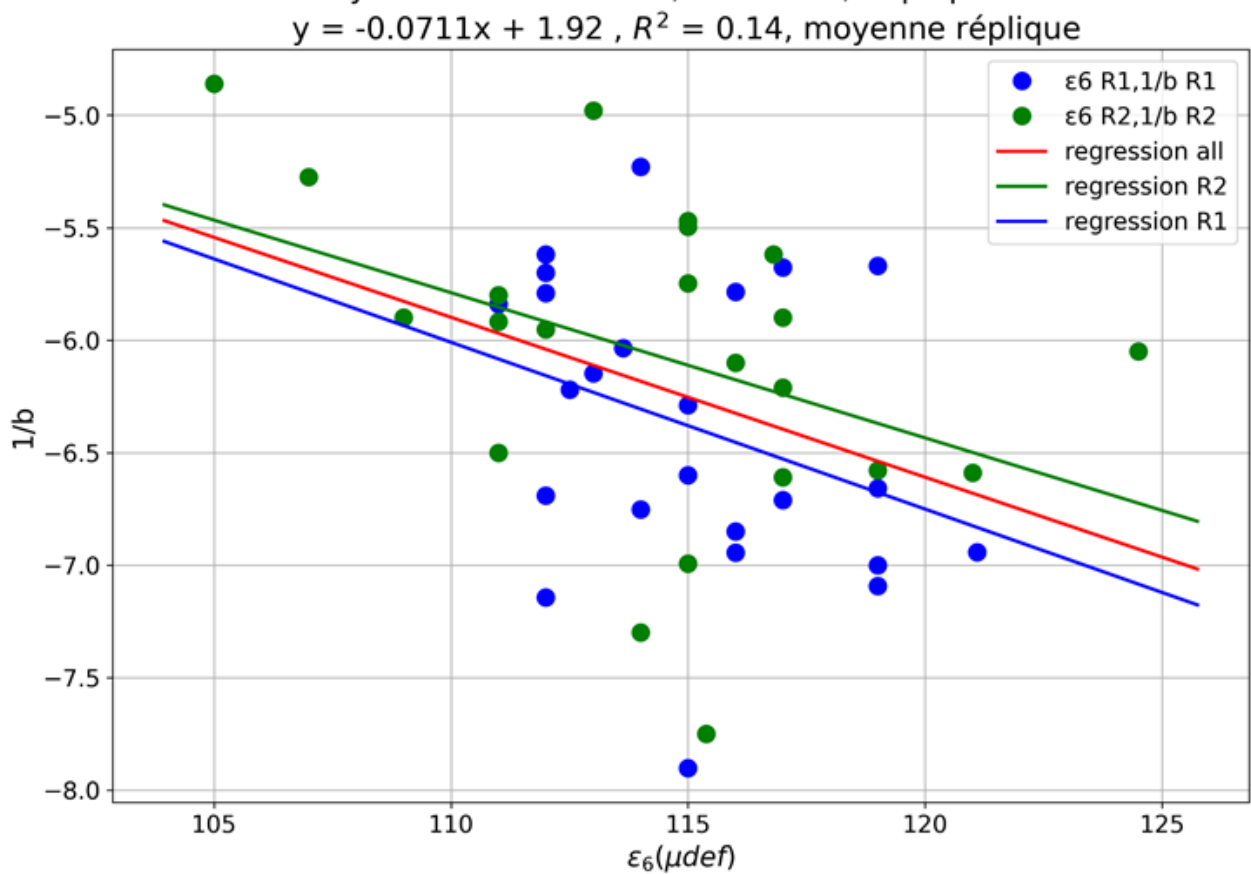






Corrélation entre la pente 1/b et les valeurs ε₆

1/b en fonction de ε_6 y=-0.0741x+2.15, $R^2=0.11$, Réplique 1 y=-0.0645x+1.31, $R^2=0.16$, Réplique 2 y=-0.0711x+1.92, $R^2=0.14$, moyenne réplique







9, rue de Berri – 75008 Paris – Tél +33 1 44 13 32 99

www.idrrim.com - idrrim@idrrim.com

@IDRRIM

Association loi 1901

